УДК 621.391.1

РАДИОЭЛЕКТРОНИКА

#### Ю.О. АВЕТИСЯН, А.А. АХУМЯН, В.Р. ТАТЕВОСЯН, А.К. МЕЛИКЯН

# ЧАСТОТНО - СКАНИРУЮЩАЯ АНТЕННА НА ОСНОВЕ ЗЕРКАЛЬНОГО ДИЭЛЕКТРИЧЕСКОГО ВОЛНОВОДА С ПЕРИОДИЧЕСКИМИ ШЕЛЯМИ

Разработана новая антенна с частотным управлением направления основного излучения, основанная на применении зеркального волновода с периодическими неоднородностями. Изменением частоты в диапазоне 36...54 ГГц достигнуто сканирование главного лепестка в пределах 70°. При этом угловая ширина лепестка не превосходила 2°в Е-плоскости. Экспериментальные данные находятся в хорошем согласии с расчетными.

*Ключевые слова:* антенна, миллиметровый диапазон, зеркальный волновод.

В последние годы в связи с задачей создания радиолокаторов с высокой разрешающей способностью резко возрос интерес к разработке антенн миллиметрового диапазона волн (ММДВ) с быстрым сканированием диаграммы направленности (ДН). Как правило, в радиолокационных системах слежения движущихся объектов сканирование производится либо механическим поворотом антенны, либо с помощью электрически управляемых фазовращателей в составе антенной решетки. Основным недостатком первого способа является малое быстродействие, а практическая реализация антенных решеток ММДВ связана с известными трудностями ввиду больших потерь в микрополосковых и металлических волноводах [1]. В настоящее время развитие полупроводниковой техники позволило создать целый ряд широкополосных приемо-передающих устройств ММДВ. В этой связи представляет интерес разработка новых антенн ММДВ с управлением направления главного лепестка ДН путем изменения частоты сигнала. Очевидно, что такие антенны могут бытъ выполнены на основе волноводов с сильной дисперсией. В настоящее время в ММДВ широко применяются диэлектрические волноводы (ДВ), в которых распространение волны сопровождается достаточно низким затуханием за использования диэлектриков с малыми потерями, и, кроме того, определенная часть электромагнитного поля распространяется в приграничной воздушной области. Частотносканирующая антенна на основе ДВ с дифракционной решеткой была исследована в работе [2]. Угол сканирования составлял около 40( и ограничивался условием одномодовости распространения волны в ДВ.

В настоящей работе нами предлагается использовать зеркальный диэлектрический волновод (ЗДВ), который, как известно [3, 4], имеет достаточно разряженный модовый состав и обладает тем достоинством, что металлическое зеркало волновода способно выполнять роль опоры и теплоотвода. Для эффективного испускания волны с поверхности ЗДВ (т.е. для обеспечения утечки волны из волноводной моды в радиационную) в металлическом основании волновода выполняются периодические неоднородности –

вырезаются поперечные щели глубиной порядка  $\lambda_0/4$ , где  $\lambda_0$  - средняя длина в рабочем диапазоне частот. Картина ЗДВ с периодическими щелями в металлическом основании представлена на рис. 1.

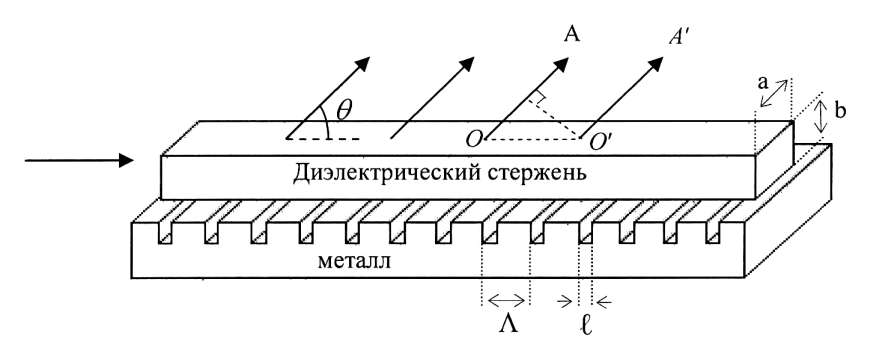


Рис. 1. Схематическое изображение ЗДВ с периодическими неоднородностями

Для определения условия излучения поле в периодическом ЗДВ представим в виде суммы пространственных гармоник [5]:

$$E = \sum_{p} E_{p}(x, y)e^{i(\omega t - \beta_{p}z)}, \qquad (1)$$

где направление z выбрано вдоль оси волновода, и

$$\beta_{p} = \beta_{0} + \frac{2\pi}{\Lambda} p$$
,  $p = 0, \pm 1, \pm 2 ...,$  (2)

р - номер пространственной гармоники;  $\beta_0$  - фазовая постоянная основной пространственной гармоники;  $\Lambda$  - период повторения неоднородностей.

Пользуясь понятием эффективного показателя преломления, формулу (2) представим в виде

$$n_{p} = n_{eff 0} + \frac{\lambda}{\Lambda} p$$
,  $p = 0, \pm 1, \pm 2 ...,$  (3)

где  $n_p = \beta_p / k_0$  - эффективный показатель преломления p - й пространственной гармоники;  $k_0 = 2\pi / \lambda$  - волновое число в свободном пространстве;  $\lambda$  - длина волны.

Для определения направления возможного испускания волны рассмотрим взаимодействие лучей ОА и О'А' (рис. 1). Для конструктивной интерференции необходимо, чтобы разность фаз была равна нулю, т.е.

$$\beta_p \cdot OO' = k_0 \cdot OO' \cos\theta$$
 (4)

Отсюда следует, что угол распространения излучения определяется условием:  $\cos\theta = \beta_p / k_0 = n_p$ . Очевидно, что ответственными за излучение из волновода являются пространственные гармоники с  $|n_p| < 1$ . При проектировании

антенны целесообразно выбрать период  $\Lambda$  так, чтобы вышеуказанное условие удовлетворялось только для одной гармоники с возможно малым индексом р. Как видно из формулы

$$\cos \theta = n_p = n_{eff 0} + \frac{\lambda}{\Lambda} p , \qquad (5)$$

наименьшее возможное значение p = -1, поскольку, как правило,  $n_{\rm eff\,0} > 1$ .

Необходимо иметь в виду, что пространственные гармоники являются группой неотделимых волн, и, следовательно, излучение одной гармоники сопровождается излучением всего поля. Возможность частотного сканирования направлением главного максимума ДН явно следует из уравнения (5), а соответствующий график зависимости  $\theta = \theta$  ( $\lambda$ )представлен на рис. 2.

Экспериментальные измерения частотно-сканирующей антенны на основе ЗДВ осуществлялись с помощью панорамного измерителя коэффициента стоячей волны (КСВ) и ослабления Р2-68. В качестве диэлектрика ЗДВ использовался поликорундовый ( $\varepsilon$  = 9,6 , tg $\delta$  = 10<sup>-3</sup>) стержень длиной L = 12,5 *см* с поперечными размерами а x b = 1,2 x 2,4 *мм*, определяющими одномодовый режим распространения волны  $E_{11}^y$  (ось у перпендикулярна плоскости основы) в диапазоне волн 5,5 ... 8 *мм*. Металлической основой ЗДВ служили алюминиевые пластины, в которых вырезались щели с периодом  $\Lambda$  = 2,5 *мм*, длинами  $\ell$  = 0,5 *мм* и 1,25 *мм*.

Регистрация излучения, испускаемого с поверхности ЗДВ, проводилась с помощью рупорной антенны с коэффициентом усиления 20 дБ, установленной на поворотном устройстве. Результаты измерений в случаях  $\ell = 0.5$  мм и  $\ell = 1.25$  мм представлены на рис.2 соответственно в виде крестов и кружочков.

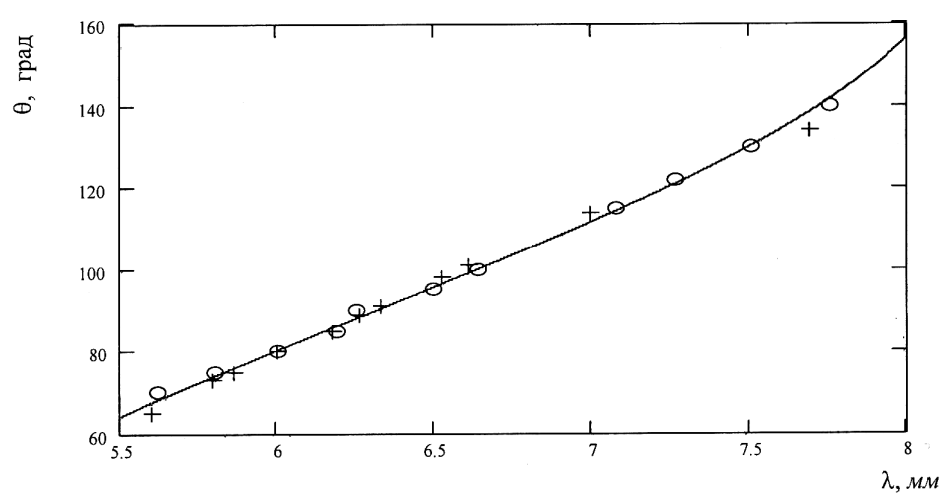


Рис.2. Зависимость угла испускания излучения от длины волны при длинах щелей  $0.5 \ {\it mm} \, (+) \ {\it u} \, 1,25 \ {\it mm} \, ({\it o})$ 

Видно, что угловой интервал сканирования составляет 70( и имеет место хорошее согласование между экспериментальными и рассчитанными (сплошная кривая) данными. В расчетах были использованы численные значения  $n_{\text{eff0}}$ , полученные в результате решения дисперсионного уравнения однородного ЗДВ. Хотя такой подход кажется несправедливым при  $\ell = 1,25$  мм (размер возмущенной области уже не является малым), однако в пределах погрешности эксперимента ( $\Delta\theta \approx \pm 0,2^{\circ}$ ,  $\Delta\lambda \approx 0,01$  мм) не было обнаружено расхождение между расчетными и экспериментальными данными.

Использование длинных щелей ( $\ell=1,25$  мм, т.е.  $\ell$  / (=0,5) интересно тем, что эффективность излучения (отношение мощности испускаемого излучения к мощности на выходе ЗДВ) в этом случае высока. Согласно измерениям, эффективность излучения при  $\ell=1,25$  мм на 5 дБ превосходит случай, когда  $\ell=0,5$  мм, и составляет  $\approx 10$  дБ. Последнее означает, что около 90 % мощности на входе ЗДВ излучается в свободное пространство, если не принимать в расчет джоулевские потери и рассогласование на входе (КСВ <1,2). Диаграмма направленности антенны имела веерообразный вид; угловая ширина главного максимума (на уровне 3 дБ) составляла примерно  $2^{\circ}$ , что хорошо согласуется с теоретической оценкой.

В заключение отметим, что при замене в периодическом ЗДВ линейного диэлектрика на нелинейный можно получить генерацию излучения миллиметрового и субмиллиметрового диапазонов длин волн посредством генерации разностной частоты (ГРЧ) двух частотно-расстроенных лазеров. В предлагаемой конструкции можно ожидать достаточно высокоэффективную ГРЧ, поскольку генерируемая волна испускается с поверхности нелинейного кристалла, и, следовательно, она практически не испытывает материального поглощения в нелинейной среде [6].

Таким образом, на основе ЗДВ с периодическими неоднородностями можно создать антенну с частотным управлением направления основного излучения. Предложена простая теоретическая модель, хорошо объясняющая экспериментальные данные. Результаты проведенного исследования свидетельствуют о перспективности разработанной антенны в задачах радиолокации и построения изображений в ММДВ.

#### СПИСОК ЛИТЕРАТУРЫ

- Marino R.A. A Novel Tapered Slot PCS Antenna Array and Model //Microwave Journal.- 1999.- V. 42, N1. -P. 90-100.
- 2. **Klohn K.L., Horn R.E., Jacobe H., Freibergs E.** Silicon Waveguide Frequency Scanning Linear Array Antenna //IEEE Trans. Microwave Theory Tech.-1978.-V.26,N10. -P. 764-773.
- 3. Ishii T. K. //Handbook of Microwave Technology. -1995. V. 1, Academic press.
- 4. **Solbach K., Wolff I.** The Electromagnetic Field and the Phase Constants of Dielectric Image Lines //IEEE Trans. Microwave Theory Tech.- 1978. -V. 26, N4. -P. 266-274.
- 5. **Peng S.T., Tamir T., Bertoni H. L.** Theory of Periodic Dielectric Waveguides //IEEE Trans. on Microwave Theory and Tech. –1975. V. 26. -P. 123-133.
- Avetisyan Yu., Hakhoumian A., Melikyan H., Tatevosyan V., Ito H., Sasaki Y. A New Scheme of THz-Wave Difference-Frequency Generation In Highly-Absorbing Cubic Nonlinear Crystal //Tech. Dig. CLEO. -2005 (to be published).

ЕГУ. Материал поступил в редакцию 10.10.2004.

### ՅՈՒ.Հ. ԱՎԵՏԻՍՅԱՆ, Ա.Ա. ՀԱԽՈՒՄՅԱՆ, Վ.Ռ. ԹԱԴԵՎՈՍՅԱՆ, Հ.Կ. ՄԵԼՒՔՅԱՆ

### ՀԱՃԱԽԱՅԻՆ ՃՈՃՔՈՎ ԱԼԵԱՐՁԱԿ՝ ՊԱՐԲԵՐԱԿԱՆ ՃԵՂՔԵՐՈՎ ՀԱՅԵԼԱՅԻՆ ԴԻԷԼԵԿՏՐԻԿ ԱԼԻՔԱՏԱՐԻ ՀԻՄԱՆ ՎՐԱ

## Yu.H. AVETISYAN, A.A. HAKHOUMIAN, V.R. TADEVOSYAN, H.K. MELIKYAN

# FREQUENCY SCANNING ANTENNA BASED ON DIELECTRIC IMAGE WAVEGUIDE WITH PERIODICAL SLOTS

A new frequency scanning antenna based on dielectric image waveguide with periodical slots is suggested. In the frequency range 36  $\dots$  54 GHz the angle of scanning within 70° has been realized, and the angular width of the main lobe did not exceed 2° in the E- plane. Experimental data are in good agreement with calculations.